

## Moto accelerato di un volano

GABRIELE BERTINELLI<sup>1</sup>

1219907

ROBEN BHATTI<sup>1</sup>

1216914

ALBERTO BRUSEGAN<sup>1</sup>

1230215

<sup>1</sup> Dipartimento Fisica e Astronomia, UniPD  
Corso di Astronomia, a.a. 2019-2020

### 1. INTRODUZIONE

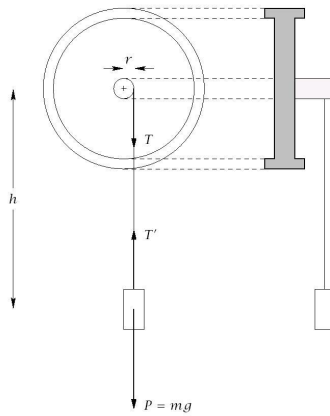
Il volano è un corpo rigido vincolato a ruotare attorno ad un asse fisso, cui è collegato da un sistema di cuscinetti a sfere; un peso in ottone, al quale è fissato un filo di rete che si può avvolgere attorno ad un cilindro munito di una scanalatura elicoidale e solidale al volano stesso, viene poi sfruttato per applicare una forza di momento noto rispetto all'asse di rotazione.

### 2. OBIETTIVI

1. Verifica della legge del moto;
2. misura del momento d'inerzia del volano rispetto all'asse di rotazione;
3. misura del momento delle forze d'attrito (sempre rispetto all'asse fisso).

### 3. DETTAGLI TECNICI SULL'APPARATO SPERIMENTALE

Uno schema dell'apparato strumentale è riportato in Fig.1.



**Figura 1.** Schema di un volano

Le forze agenti sul volano sono il momento delle forze d'attrito, la tensione del filo  $T$ , la forza peso  $P$  e la tensione  $T'$ . Trattandosi di attrito tra corpi solidi (rotolamento delle sfere dei cuscinetti), il momento delle forze d'attrito che agiscono sull'asse del volano si può ritenere indipendente dalle condizioni del moto: quindi  $M_a$  è una costante.

Valori noti:

$m = 34.0 \pm 0.5$  g è la massa del peso;

$r = 18.95 \pm 0.01$  mm (si veda Fig.1 per il significato geometrico di  $r$ );

$g = 9.806 \pm 0.001$  m/s<sup>2</sup> è il valore della accelerazione di gravità attesa a Padova.

Le equazioni del moto sono pertanto:

$$\begin{aligned} mg - T' &= ma \\ Tr - M_a &= I \frac{d\omega}{dt} \end{aligned} \quad (1)$$

$\frac{d\omega}{dt}$  lo possiamo sostituire con  $\frac{a}{r}$  e il filo che connette il peso al volano si può considerare di massa trascurabile, risulterà in conseguenza  $T = T'$ . Dopo aver fatto le dovute sostituzioni ed esplicitando per  $a$ , accelerazione del peso, troviamo

$$a = \frac{(mr g - M_a)r}{I + mr^2} \quad (2)$$

dove  $I$  è il momento di inerzia del volano.

Dal momento che tutte le grandezza da cui  $a$  dipende sono costanti il moto del volano sarà uniformemente accelerato. Se il filo si considera inestensibile, lo spazio percorso dal peso è legato all'angolo  $\phi$  di cui è ruotato il volano

$$s = \frac{1}{2}at^2 = r\phi \quad (3)$$

La velocità angolare  $\omega$  del volano in funzione del tempo è espressa da

$$\omega(t) = \frac{a}{r}t = \frac{mr g - M_a}{I + mr^2}t = \alpha t \quad (4)$$

in cui

$$\alpha = \frac{mr g - M_a}{I + mr^2} \quad (5)$$

è l'accelerazione angolare del moto.

Esprimendo l'angolo di rotazione in funzione dei giri del volano,  $1/2at^2 = 2\pi rn$ , si ricava

$$\theta = 2\sqrt{\frac{\pi(I + mr^2)}{mr g - M_a}} \quad (6)$$

Il momento di inerzia  $I$  si ricava dalla (6); bisogna però conoscere  $M_a$ , esso è legato, in ogni istante, al valore dell'accelerazione angolare (negativa, perché misurano in decelerazione) dalla

$$-M_a = I \frac{d\omega}{dt} \quad (7)$$

Integrando

$$\omega(t) = \omega_{max} - \frac{M_a}{I}t = \omega_{max} + \beta t \quad (8)$$

dove

$$\beta = -\frac{M_a}{I} \quad (9)$$

rappresenta la decelerazione del moto.

#### 4. RACCOLTA DATI

La raccolta dati è stata effettuata come quanto segue:

- Avvolgere il filo di refe attorno al cilindro solidale al volano e lasciare quest'ultimo libero di ruotare nello stesso istante in cui si avvia il cronometro.

2. Acquisire i tempi in corrispondenza della fine di ognuno dei giri compiuti dal volano sino al 13° giro.
3. Attendere il distacco del peso dal volano.
4. Acquisire i tempi di decelerazione per effettuare 10,20,...,60 giri a partire dal distacco del peso.

Ripetere i punti 1-4 per dodici volte.

Le misure dei tempi sono state prese con un cronometro digitale con incertezza  $1 \cdot 10^{-4} s$ .

I dati raccolti, essendo uguali per tutti i gruppi, non vengono riportati.

## 5. ELABORAZIONE DATI

I dati sono stati elaborati nel seguente modo:

1. Calcolare i tempi medi di percorrenza di 1, 2, ..., 13 giri nella fase di accelerazione rispetto le dieci misure ripetute e i tempi medi di percorrenza di 10, 20, ..., 60 giri nella fase di decelerazione.
2. Calcolare la differenza  $\Delta t_i$  corrispondente al tempo necessario per effettuare il giro  $i$ -esimo ( $i=1, \dots, 13$ ) nella fase di accelerazione. Identicamente si è calcolato  $\Delta t_{d,i}$  ( $i=10, 20, \dots, 30$ ), tempo necessario per compiere 10 giri nella fase di decelerazione.
3. Calcolare la velocità media angolare  $\omega_i$  per effettuare il giro  $i$ -esimo:  $\omega_i = 2\pi/\Delta t_i$  nella fase di accelerazione.  $\omega_i$  corrisponde alla velocità istantanea del volano relativa all'istante intermedio  $t_{i,ist}$  dell'intervallo di tempo considerato in corrispondenza di ogni giro.
4. Nel grafico, riportato nella Fig.(2), si sono disposte le coppie  $(t_{i,ist}; \omega_i)$  e si è interpolato con una retta di equazione  $\omega(t) = \omega_0 + \alpha t$ ; la pendenza  $\alpha$  è stata calcolata in (5).
5. Analogamente si è fatto per la fase di decelerazione: la velocità media angolare  $\omega_{d,i}$  per effettuare 10 giri nella fase di decelerazione vale  $\omega_{d,i} = (2 \cdot 10 \pi)/t$ .  $\omega_{d,i}$  corrisponde alla velocità istantanea del volano relativa all'istante intermedio  $t_{d,i,ist}$  dell'intervallo di tempo considerato ogni 10 giri.
6. Nel grafico della Fig.(2) si sono disposte anche le coppie  $(t_{i,ist}; \omega_i)$ , della fase di decelerazione ed interpolate con la retta di equazione  $\omega(t) = \omega_{max} + \beta t$ ; la pendenza  $\beta$  è stata calcolata in (9).
7. Ricavare  $I$  utilizzando i valori di  $\alpha$  e  $\beta$

$$I = \frac{m r g - \alpha m r^2}{\alpha - \beta} \quad (10)$$

associando ad  $I$  l'errore dato dalla formula di propagazione dell'errore.

$$\begin{aligned} \sigma_I^2 &= \left( \frac{r g - \alpha r^2}{\alpha - \beta} \sigma_m \right)^2 + \left( \frac{m g - 2 \alpha m r}{\alpha - \beta} \sigma_r \right)^2 + \\ &+ \left( \frac{m r}{\alpha - \beta} \sigma_g \right)^2 + \left( \frac{m r^2 (\alpha - \beta) + m g r - \alpha m r^2}{(\alpha - \beta)^2} \sigma_\alpha \right)^2 + \\ &+ \left( \frac{m r g - \alpha m r^2}{(\alpha - \beta)^2} \sigma_\beta \right)^2 \end{aligned} \quad (11)$$

Dove gli errori su  $\alpha$  e  $\beta$  sono

$$\sigma_\alpha = \sigma_\omega \sqrt{\frac{1}{\sum t_i^2 - (\sum t_i)^2}} \quad (12)$$

$$\sigma_\beta = \sigma_\omega \sqrt{\frac{1}{\sum t_i^2 - (\sum t_i)^2}} \quad (13)$$

8. Ricavare  $M_a$  da  $\beta$  con relativo errore, sempre dato dalla formula di propagazione dell'errore.

$$\sigma_{M_a} = \sqrt{(-\beta \sigma_I)^2 + (-I \sigma_\beta)^2} \quad (14)$$

Vediamo più in dettaglio i passaggi svolti per ricavare i dati che sono riportati nella Tabella 1 e 2. Si è calcolato  $\bar{t}$ , tempo medio, con (15) ovvero la media aritmetica tra le 12 misure effettuate per ogni prova, relativo ad ogni giro. L'errore associato è stato ricavato tramite la (16), cioè la deviazione standard corretta (al denominatore  $N - 1$  invece di  $N$ ). Si è scelto di utilizzare questa correzione per ovviare la tendenza della formula "classica" a sottostimare le incertezze, soprattutto nel caso in cui si lavori con pochi dati, come quello che stiamo analizzando.

$$\bar{t} = \frac{\sum_{n=1}^{12} t_i}{N} \quad (15)$$

$$\sigma_{\bar{t}} = \sqrt{\frac{\sum_{n=1}^N (t_i - \bar{t})^2}{N - 1}} \quad (16)$$

Si è poi calcolato  $\Delta t$  con la (17) ovvero la differenza tra  $\bar{t}$  relativo a quel giro e il precedente. Come errore su  $\Delta t$  si è usata la (18), somma in quadratura.

$$\Delta t = \bar{t}_i - \bar{t}_{i-1} \quad (17)$$

$$\sigma_{\Delta t} = \sqrt{\sigma_{\bar{t}_i}^2 + \sigma_{\bar{t}_{i-1}}^2} \quad (18)$$

Si è calcolato il  $t_{int}$ , tempo intermedio, ovvero l'istante in cui la velocità istantanea è uguale alla velocità angolare calcolata nel  $\Delta t$ . Esso viene calcolato con la (19), cioè con media aritmetica tra  $\bar{t}_i$  e  $\bar{t}_{i-1}$  e l'errore associato si calcola con la (20) ovvero con la somma in quadratura moltiplicata per un fattore di  $\frac{1}{2}$ .

$$t_{int} = \frac{\bar{t}_i + \bar{t}_{i-1}}{2} \quad (19)$$

$$\sigma_{t_{int}} = \frac{1}{2} \sqrt{\sigma_{\bar{t}_i}^2 + \sigma_{\bar{t}_{i-1}}^2} \quad (20)$$

In seguito si è calcolata la velocità angolare con la (21), rapportando  $s \pi$  a  $\Delta t$ . L'errore associato si ricava tramite la (22), formula generale della propagazione degli errori.

$$\omega = \frac{2 \pi}{\Delta t_i} \quad (21)$$

$$\sigma_{\omega} = \sqrt{\left( -\frac{2 \pi}{\Delta t^2} \sigma_{\Delta t} \right)^2} \quad (22)$$

Gli stessi passaggi sono stati svolti per la fase di decelerazione, tenendo conto che  $\omega_d = (2 \cdot 10 \pi) / \Delta t$  e quindi l'errore associato è  $\sigma_{\omega_d} = \sqrt{\left( -\frac{2 \cdot 10 \pi}{\Delta t^2} \sigma_{\Delta t} \right)^2}$ .

I successivi passaggi sono stati descritti a partire dal punto (4).

I valori di  $\alpha$ ,  $\beta$ ,  $I$  e  $M_a$ , e relative incertezze, sono riportate nella Tabella 3.

Confrontando il valore di  $I$  noto e quello ricavato 10, possiamo concludere che i due valori sono compatibili, come è anche possibile notare dalla Fig.3.

## 6. CONCLUSIONI

Si è verificata con successo la compatibilità del momento d'inerzia del volano rispetto all'asse di rotazione. Si è ricavato il momento d'attrito rispetto all'asse di rotazione con il suo errore e infine si è verificata la legge del moto circolare uniformemente accelerato.

## APPENDIX

## A. ELABORAZIONE DATI

**Tabella 1.** Elaborazione dati in fase di accelerazione

$\bar{t}$ (s)	$\Delta t$ (s)	$t_{ist}$ (s)	$\omega$ (rad/s)
16.8428±0.3224	16.8428±0.3224	16.8428±0.1612	0.3730±0.3224
17.8428±0.3676	7.0196±0.4889	20.3526±0.2445	0.8951±0.4800
18.8428±0.3037	5.5267±0.4768	26.6259±0.2383	1.1369±0.4768
19.8428±0.2854	4.5939±0.4167	31.6862±0.2084	1.3677±0.4167
20.8428±0.3091	4.0088±0.4207	35.9876±0.2104	1.5673±0.4207
21.8428±0.3252	3.6525±0.4487	39.8182±0.2243	1.7203±0.4487
22.8428±0.3249	3.3486±0.4597	43.3188±0.2298	1.8764±0.4597
23.8428±0.3423	3.1138±0.4719	46.5500±0.2360	2.0179±0.4719
24.8428±0.4170	2.8602±0.5395	49.5370±0.2698	2.1968±0.5395
25.8428±0.3534	2.8391±0.5466	52.3866±0.2733	2.2131±0.5466
26.8428±0.3626	2.6057±0.5087	55.1090±0.2532	2.4114±0.5064
27.8428±0.3568	2.5301±0.5087	57.6769±0.2544	2.4833±0.5087
28.8428±0.3442	2.3529±0.4958	60.1184±0.2479	2.6704±0.4958

NOTE—Sono riportati i dati elaborati come spiegato nella Sezione 5.

**Tabella 2.** Elaborazione dati in fase di decelerazione

$\bar{t}$ (s)	$\Delta t$ (s)	$t_{ist}$ (s)	$\omega$ (rad/s)
24.0383±0.7564	24.0383±0.7564	24.0383±0.3781	2.6138±0.1645
48.6321±0.7188	24.5937±1.0434	36.3352±0.5217	2.5548±0.2168
73.9499±0.7455	25.3178±1.0355	61.2910±0.5178	2.4817±0.2030
99.9417±0.7581	25.9919±1.0632	86.9458±0.5316	2.4174±0.1978
126.6681±0.8106	26.7264±1.1099	113.3049±0.5549	2.3509±0.1953
154.1599±0.8642	27.4918±1.1849	140.4140±0.5925	2.2855±0.1970

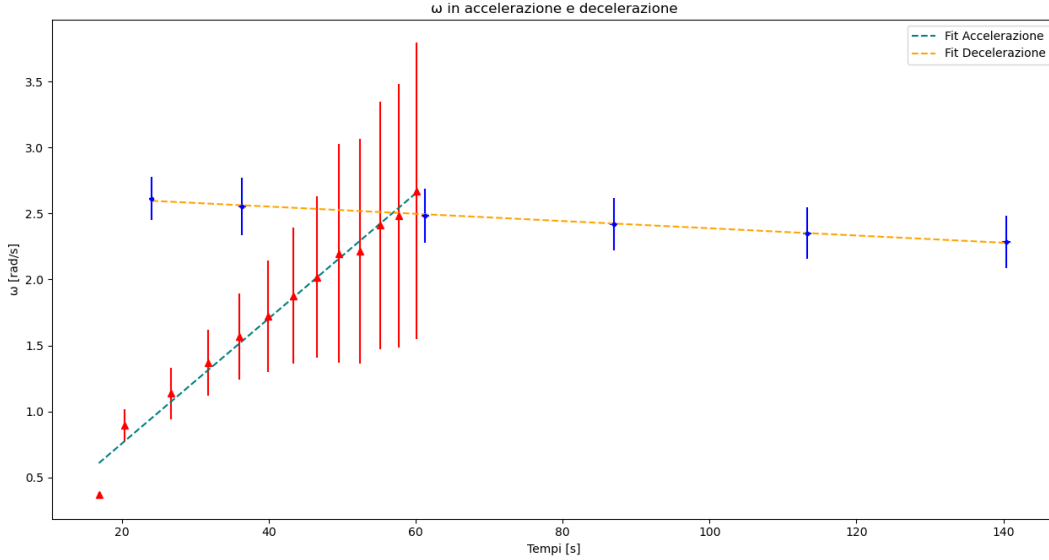
NOTE—Sono riportati i dati elaborati come spiegato nella Sezione 5.

**Tabella 3.** Valori delle incognite

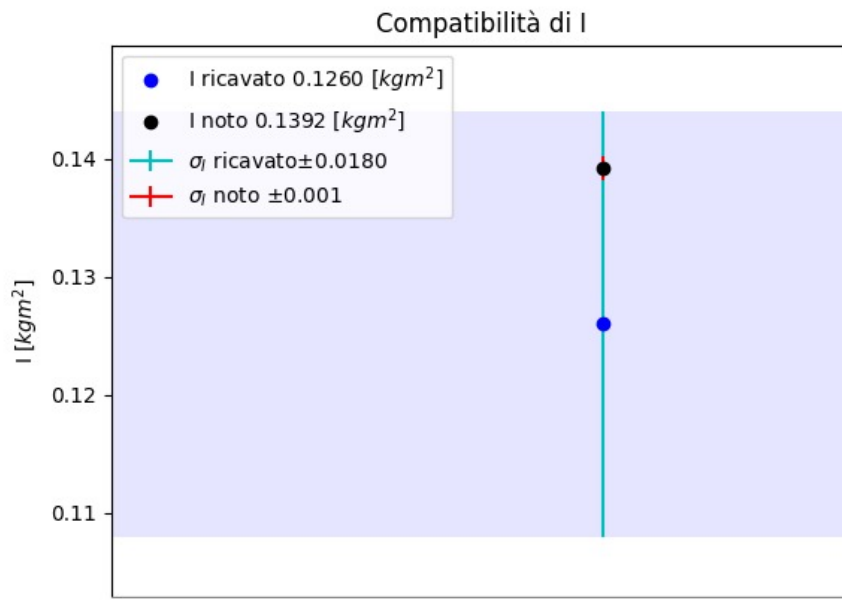
$\alpha$ rad/s <sup>2</sup>	$\beta$ rad/s <sup>2</sup>	$I$ (kg m <sup>2</sup> )	$M_a$ N m
0.0474±0.0072	-0.0027±0.0001	0.1260±0.0180	0.0003±0.0001

NOTE—Vengono riportati i valori di  $\alpha$ ,  $\beta$ ,  $I$  e  $M_a$  con i rispettivi errori.

Si verifica che c'è compatibilità tra  $I$  ricavato e  $I$  noto ( $0.1392 \pm 0.0001$ ), come si può notare graficamente dalla Fig.3.



**Figura 2.** Grafico in cui sono rappresentate le coppie  $(t_{i,ist}; \omega_i)$ , gli errori relativi a  $\omega_i$ , sia in fase di accelerazione che decelerazione e le rispettive rette interpolanti.



**Figura 3.** Compatibilità della misura di  $I$ , con il valore noto. Si può notare che  $I$  noto con la sua barra d'errore sta all'interno della zona delimitata dall'incertezza di  $I$  ricavato, indicando la buona riuscita dell'esperimento e quindi la compatibilità delle due misure.